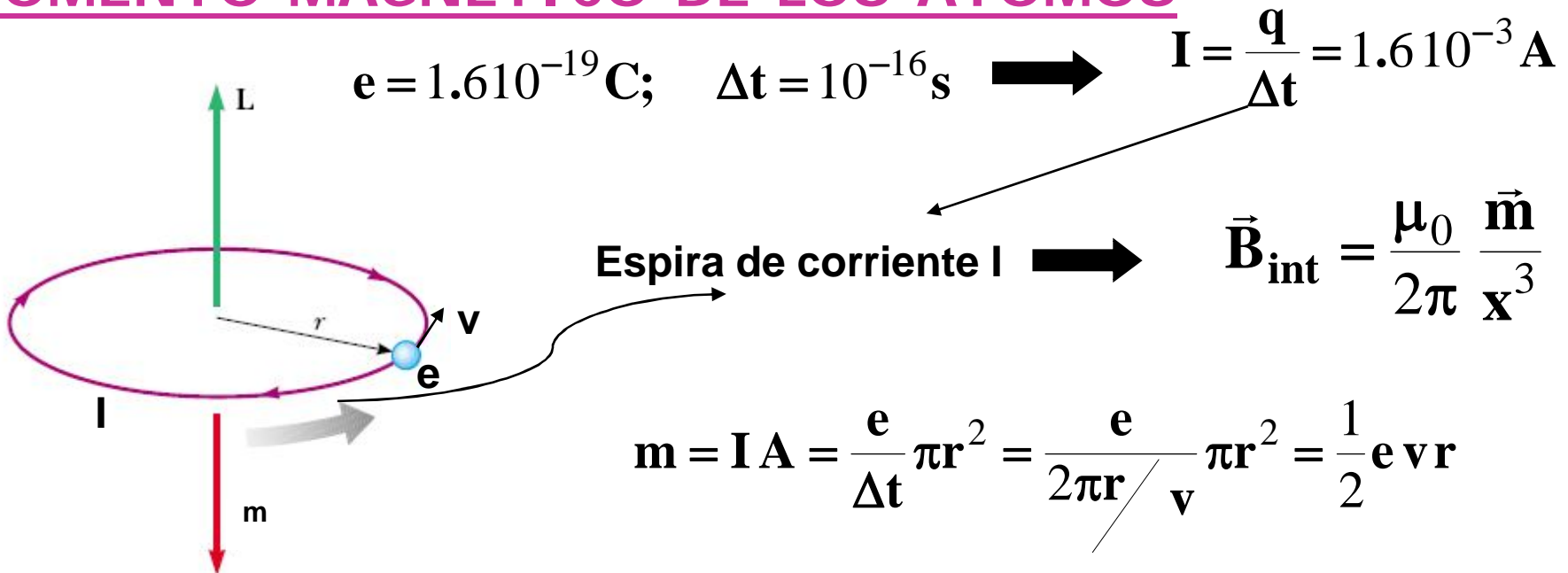


MATERIALES MAGNETICOS

Bibliografía consultada

- Sears- Zemasnky -Tomo II
- Fisica para Ciencia de la Ingeniería, Mckelvey
- Serway- Jewett --Tomo II

MOMENTO MAGNÉTICO DE LOS ATOMOS



$$\text{momento angular orbital} = L = \vec{r} \times m \vec{v} = m_e v r = N \frac{h}{2\pi} \quad N \in \mathbb{Z}$$

$h = \text{cte. De Planck}$

$$\frac{h}{2\pi} = 1,05 \cdot 10^{-34} \text{ J.s}$$

$$m = \frac{1}{2} \frac{e}{m_e} L$$

$$\text{Magneton de Bohr} \quad m_B = \frac{e \cdot h}{4\pi m_e} = 9,27 \cdot 10^{-24} \text{ J/T}$$

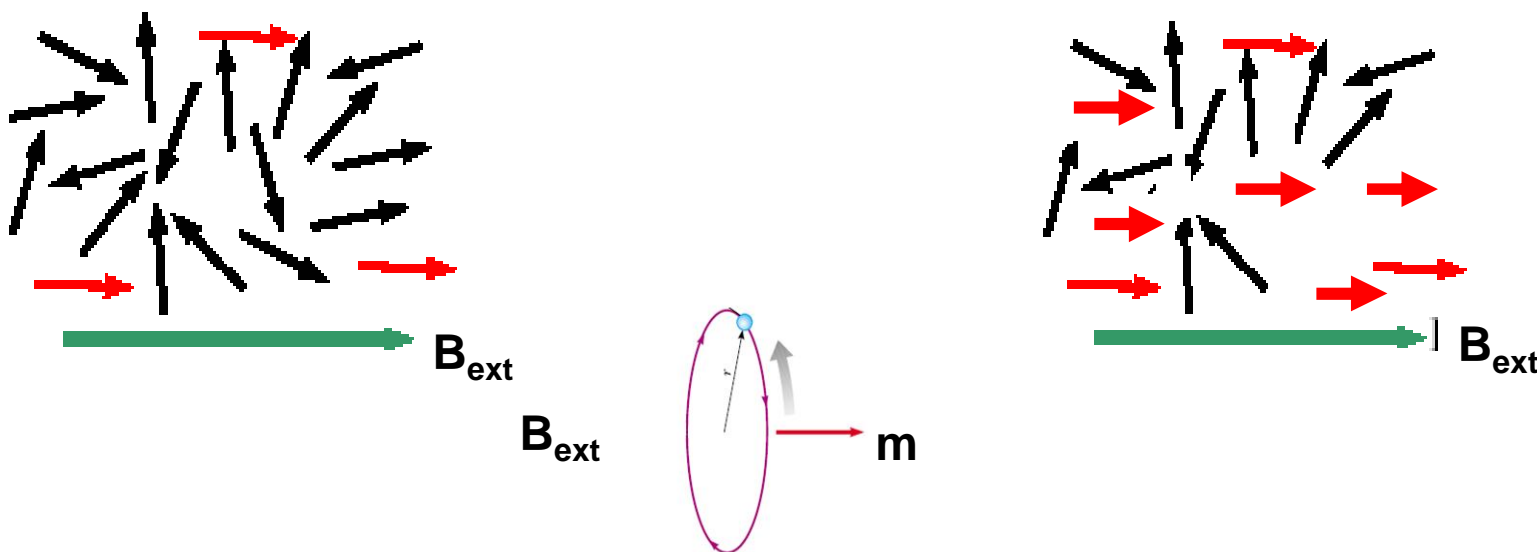
$$m = N m_B \quad N \in \mathbb{Z}$$

CLASIFICACIÓN

Materiales Diamagnéticos: se magnetizan débilmente en el sentido **opuesto** al del campo magnético aplicado. Resulta así que aparece una fuerza de repulsión sobre el cuerpo respecto del campo aplicado.

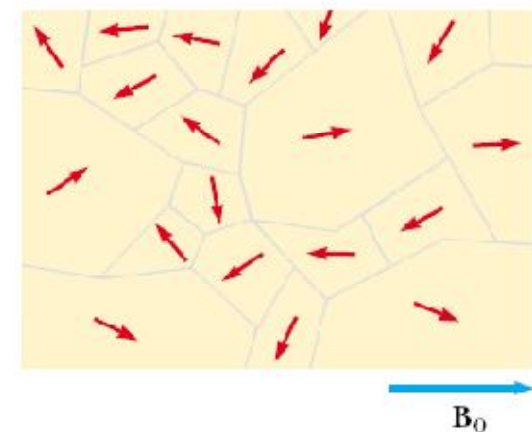
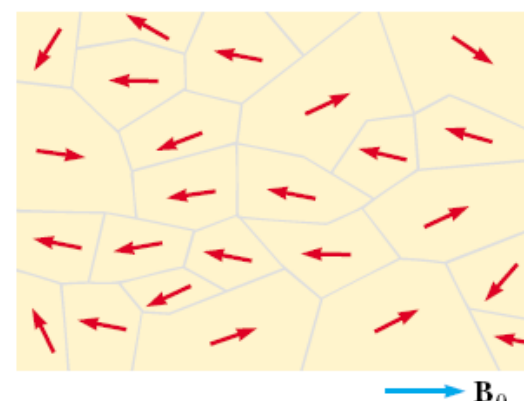
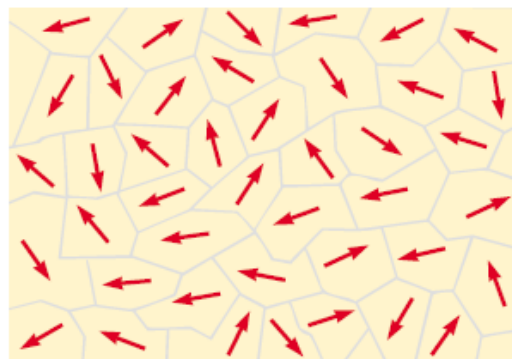
Materiales Paramagnéticos :átomos con un momento magnético neto, que tienden a alinearse paralelo a un campo aplicado (se magnetizan débilmente en el mismo sentido que el campo magnético aplicado) . Los efectos son prácticamente imposibles de detectar excepto a temperaturas extremadamente bajas o campos aplicados muy intensos.

Ejemplos de materiales paramagnéticos: aluminio y sodio.

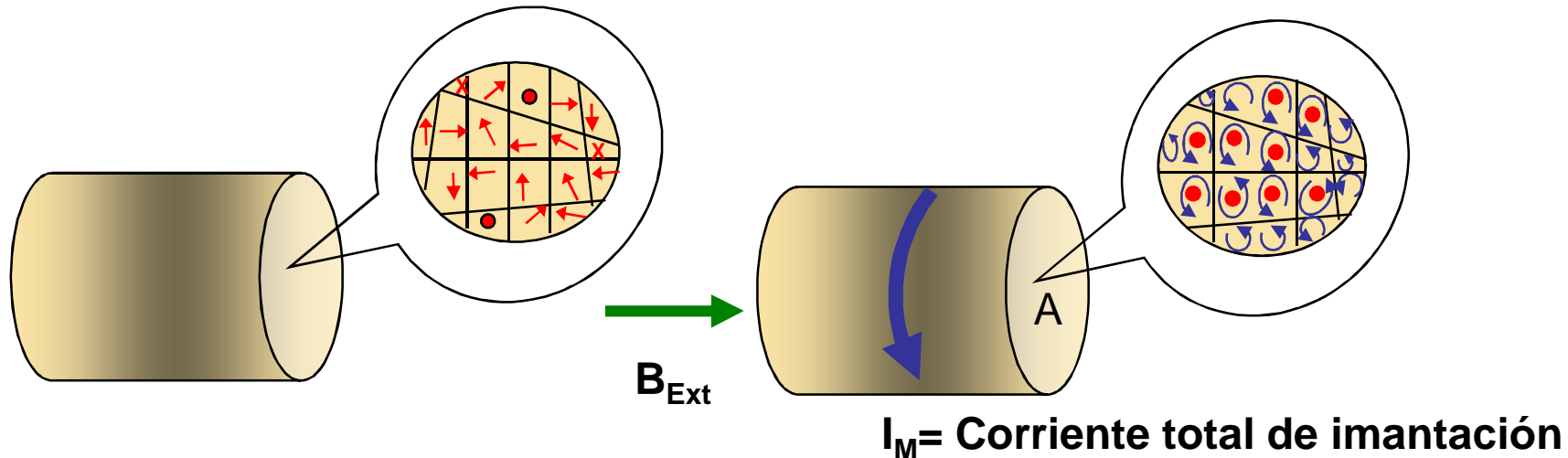


Materiales Ferromagnéticos se magnetizan fuertemente. En los materiales ferromagnéticos los momentos magnéticos individuales de grandes grupos de átomos o moléculas se mantienen alineados entre sí debido a un fuerte acoplamiento, aún en ausencia de campo exterior. Estos grupos se denominan **dominios**, y actúan como un pequeño imán permanente. Los dominios tienen tamaños entre 10-12 y 10-8 m³ y contienen entre 10²¹ y 10²⁷ átomos.

Dominios Magnéticos

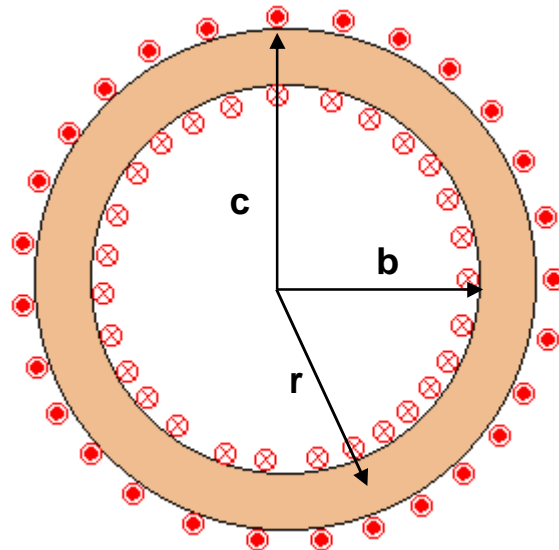


MAGNETIZACIÓN

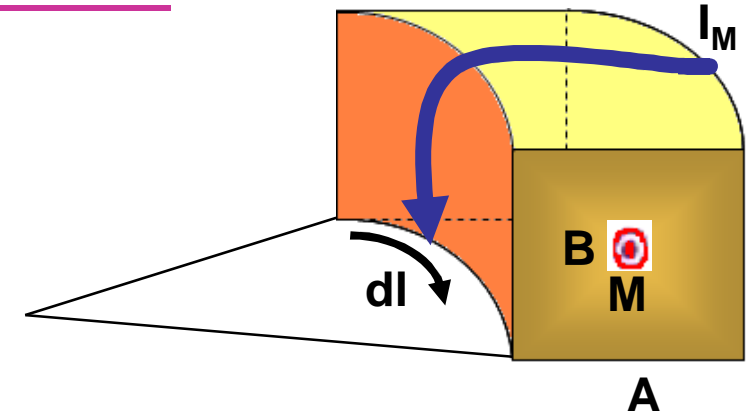
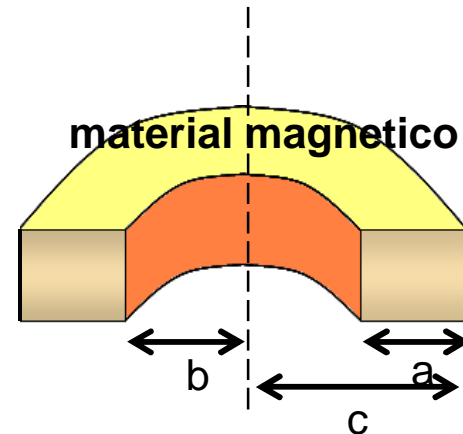


$$\vec{m}_T = I_M \cdot \vec{A} \quad \longrightarrow \quad \vec{M} = \text{Vector Magnetización} = \frac{\Delta \vec{m}_T}{\Delta \text{vol}}$$

$$\vec{m}_T = \iiint \vec{M} d\text{vol}$$



CIRCULACION de M



$$dvol = A \, dl$$

- Núcleo del toroide de un material magnético.
- N Espiras de corriente I
- A área lateral del toroide

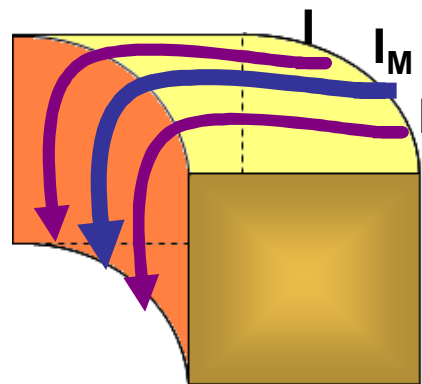
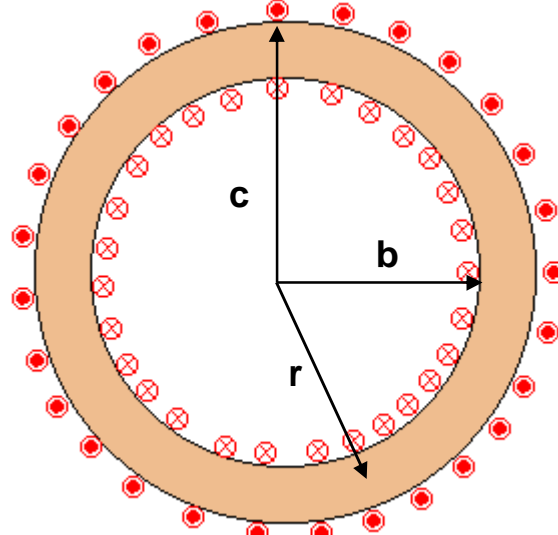
$$M = \frac{dm_T}{dvol} = \frac{d(AI_M)}{Adl} = \frac{dI_M}{dl}$$

$$\oint \vec{M} \cdot d\vec{l} = \oint M \, dl = \oint dI_M = I_M$$

\downarrow
 $M \propto dl$

$$\boxed{\oint \vec{M} \cdot d\vec{l} = I_M}$$

LEY DE AMPERE



- Núcleo del toroide de un material magnético.
- N Espiras de corriente I
- A area lateral del toroide

$$\oint \vec{B} \cdot d\vec{l} = \mu_0 \sum I_{\text{concatenada}}$$

$$\oint \vec{B} \cdot d\vec{l} = \mu_0 (NI + I_M) = \mu_0 \left(NI + \oint \vec{M} \cdot d\vec{l} \right) \rightarrow \oint \left(\frac{\vec{B}}{\mu_0} - \vec{M} \right) \cdot d\vec{l} = NI$$

$$\frac{\vec{B}}{\mu_0} - \vec{M} = \vec{H}$$

Vector excitación Magnética

Resumiendo, en presencia de materiales magnéticos, las ecuaciones para \mathbf{B} , \mathbf{H} y \mathbf{M} son

$$\oint \vec{H} \cdot d\vec{l} = \sum I$$

$$\vec{B} = \mu_0 (\vec{H} + \vec{M})$$

$$\oint \vec{B} \cdot d\vec{l} = \mu_0 \sum I_{\text{totales}} = \mu_0 \left(\sum I + I_M \right)$$

$$[H] = [M] = \frac{A}{m}$$

$$\oint \vec{M} \cdot d\vec{l} = I_M$$

$$[\phi_m] = T m^2 = \text{Weber} = W_b$$

$$\iint \vec{B} \bullet d\vec{A} = 0$$

$$[B] = T = \frac{Wb}{m^2}$$

$$\oint \vec{H} \cdot d\vec{l} = \sum I$$

La circulación de \mathbf{H} depende solo de las corrientes libres La circulación de \mathbf{H} no depende del medio. **Pero H si!!!!**

$$\iint \vec{H} \cdot d\vec{A} = \iint \left(\frac{\vec{B}}{\mu_0} - \vec{M} \right) \cdot d\vec{A} = - \iint \vec{M} \cdot d\vec{A}$$

si $\iint \vec{M} \cdot d\vec{A} = 0 \Rightarrow \iint \vec{H} \cdot d\vec{A} \Rightarrow H \text{ no depende del medio}$

Materiales Diamagnéticos y Diamagnéticos

Materiales lineales

$$\vec{M} = \chi_m \vec{H}$$

χ = susceptibilidad magnética= cte.= adimensional

Tabla de susceptibilidades magnéticas χ_m a T ambiente y a 1 atmósfera			
Paramagnéticos (+)		Diamagnéticos (-)	
Oxígeno	1.94×10^{-6}	Hidrógeno	-2.08×10^{-9}
Sodio	8.4×10^{-6}	Nitrógeno	-6.7×10^{-9}
Magnesio	1.2×10^{-5}	CO_2	-1.19×10^{-8}
Aluminio	2.1×10^{-5}	Alcohol	-0.75×10^{-5}
Tungsteno	7.6×10^{-5}	Agua	-0.91×10^{-5}
Titanio	1.8×10^{-4}	Cobre	-0.98×10^{-5}
Platino	2.93×10^{-4}	Plata	-2.64×10^{-5}
		Oro	-3.5×10^{-5}

$$\mu_r = (1 + \chi_m)$$

$$\vec{B} = \mu_0 (1 + \chi_m) \vec{H} = \mu_0 \mu_r \vec{H}$$

$$\boxed{\vec{B} = \mu \vec{H}}$$

μ = Permeabilidad magnética

$$\left\{ \begin{array}{ll} \text{paramagnéticos} & \mu > \mu_0 \\ \text{diamagnéticos} & \mu < \mu_0 \end{array} \right.$$

A altas temperaturas la agitación térmica impide la alineación de los momentos magnéticos con un \vec{B} externo.

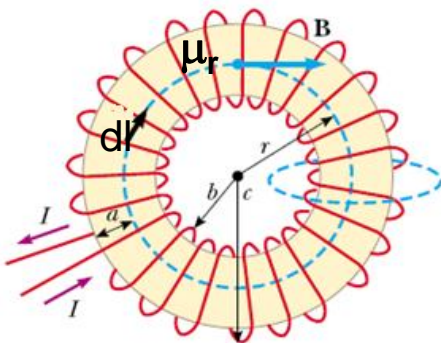
Al aumentar T , χ disminuye

Pierre Curie demostró, para materiales paramagnéticos:

$$M = C \frac{B}{T} \quad C = \text{cte de Curie}$$

$$\text{Si } B = 0 \Rightarrow M = 0$$

Toroide de material magnético lineal con N espiras de corriente I

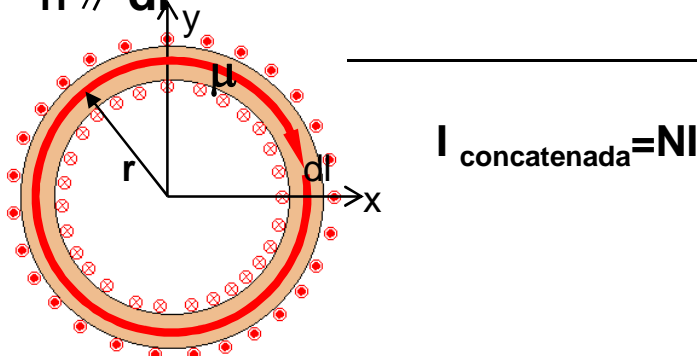


$$\oint \vec{H} \cdot d\vec{l} = \sum I$$

Por simetría $\vec{H} = H(r)\hat{\phi}$

$$\oint_{H \parallel dl} \vec{H} \cdot d\vec{l} = \oint H(r) dl = \oint H(r)r d\phi = H(r)2\pi r = 0$$

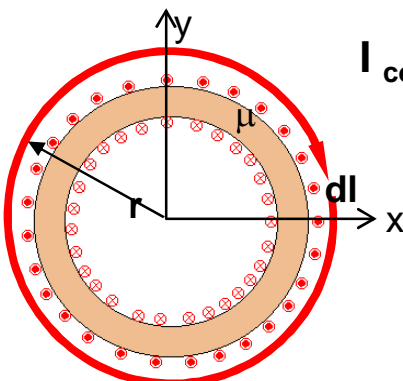
$$H(r < b) = 0$$



$$I_{\text{concatenada}} = NI$$

$$\oint \vec{H} \cdot d\vec{l} = \oint H(r) dl = \oint H(r)r d\phi = H(r)2\pi r = NI$$

$$H(b < r < c) = \frac{NI}{2\pi r}$$



$$I_{\text{concatenadas}} = NI - NI = 0$$

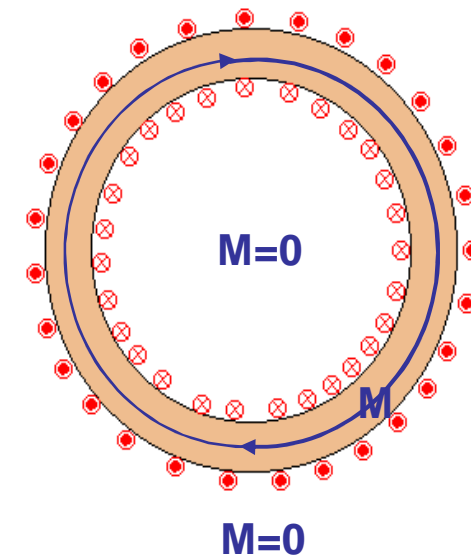
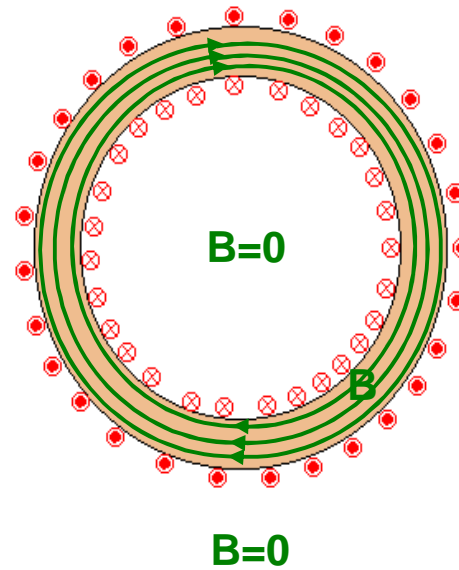
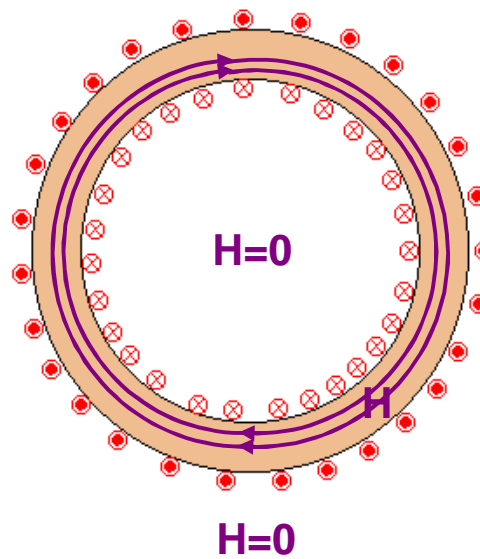
$$\oint \vec{H} \cdot d\vec{l} = \oint H(r) dl = \oint H(r)r d\phi = H(r)2\pi r = 0$$

$$H(r < b, r > c) = 0$$

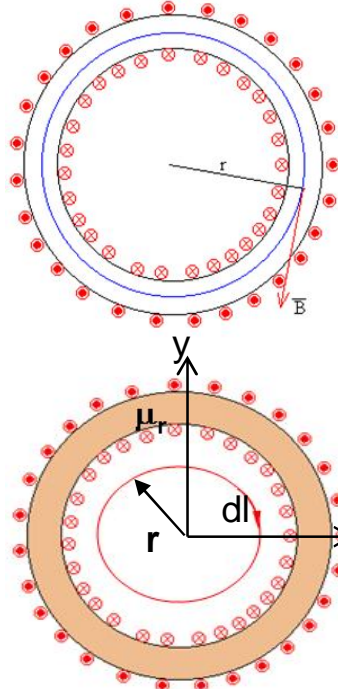
$$H(r) = \begin{cases} \frac{NI}{2\pi r} & (b < r < c) \\ 0 & \text{afuera} \end{cases}$$

$$\vec{B} = \mu \vec{H} \quad B(r) = \begin{cases} \mu \frac{NI}{2\pi r} & (b < r < c) \\ 0 & \text{afuera} \end{cases}$$

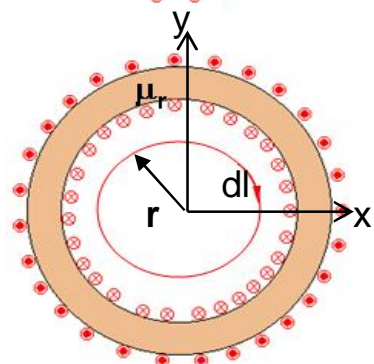
$$\vec{M} = \chi_m \vec{H} \quad M(r) = \begin{cases} \chi \frac{NI}{2\pi r} & (b < r < c) \\ 0 & \text{afuera} \end{cases}$$



PARAMAGNÉTICO

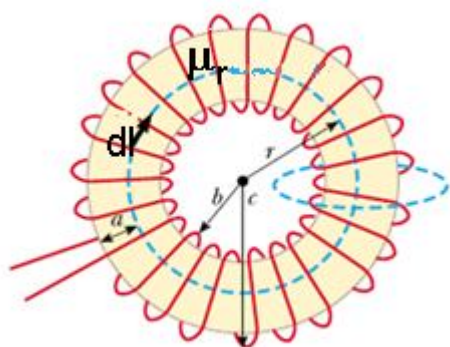


$$B(b < r < c, \text{ vacío}) = \mu_0 \frac{NI}{2\pi r}$$



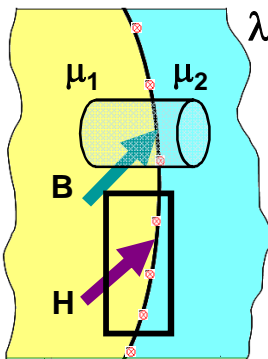
$$B(b < r < c, \mu) = \mu_0 \mu_r \frac{NI}{2\pi r}$$

$$B(\mu_0) < B(\mu)$$



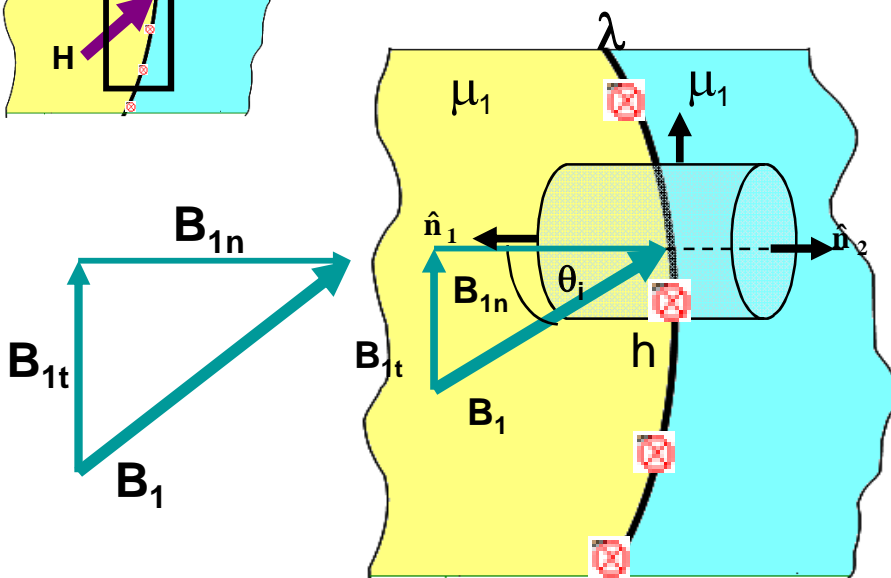
Si $I = 0 \Rightarrow H = 0 \Rightarrow B = 0$

CONDICIONES DE CONTORNO



$$\lambda = \frac{dI}{dl} = \text{densidad lineal de } I \quad I = \int \vec{\lambda} \cdot d\vec{l}$$

$$\vec{B} = \mu_0 (\vec{H} + \vec{M}) \quad \vec{B} = \mu \vec{H} \quad \vec{M} = \chi_m \vec{H}$$



$$\mu_1 H_{1n} = \mu_2 H_{2n} \Rightarrow H_{2n} = \frac{\mu_1}{\mu_2} H_{1n}$$

$$\frac{\mu_1}{\chi_1} M_{1n} = \frac{\mu_2}{\chi_2} M_{2n} \Rightarrow M_{2n} = \frac{\mu_1 \chi_2}{\chi_1 \mu_2} M_{1n}$$

$$\oint \vec{H} \cdot d\vec{l} = \sum I$$

$$\iint \vec{B} \cdot d\vec{A} = 0$$

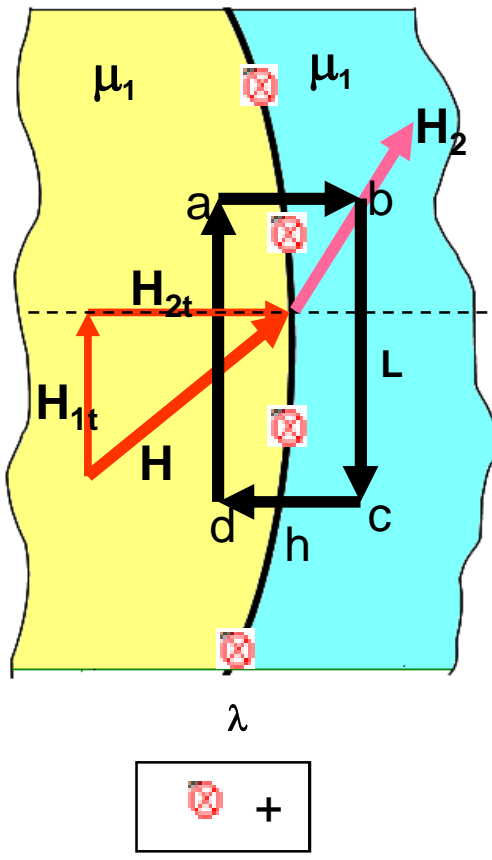
$$\iint \vec{B} \cdot d\vec{A} = \iint_{\text{base}} \vec{B} \cdot d\vec{A} + \iint_{\text{tapa}} \vec{B} \cdot d\vec{A} + \iint_{\text{lateral}} \vec{B} \cdot d\vec{A}$$

\downarrow
 $h \rightarrow 0$

$$\iint \vec{B} \cdot d\vec{A} = - \iint_{\text{base}} B_{1n} dA + \iint_{\text{tapa}} B_{2n} dA = 0$$

$$B_{2n} - B_{1n} = 0 \Rightarrow B_{2n} = B_{1n}$$

Se conserva la componente
normal B



$$\oint \vec{H} \cdot d\vec{l} = \sum I$$

$$\oint \vec{H} \cdot d\vec{l} = \int_a^b \vec{H} \cdot d\vec{l} + \int_b^c \vec{H} \cdot d\vec{l} + \int_c^d \vec{H} \cdot d\vec{l} + \int_d^a \vec{H} \cdot d\vec{l}$$

$$h \rightarrow 0$$

$$\int_d^a H_{1t} dl - \int_b^c H_{2t} dl = \int \vec{\lambda} \cdot d\vec{l}$$

$$(H_{1t} - H_{2t})L = \lambda L \Rightarrow (H_{1t} - H_{2t}) = \lambda$$

$$\vec{B} = \mu \vec{H}$$

$$\Rightarrow \frac{B_{1t}}{\mu_1} - \frac{B_{2t}}{\mu_2} = \lambda$$

$$\vec{M} = \chi_m \vec{H}$$

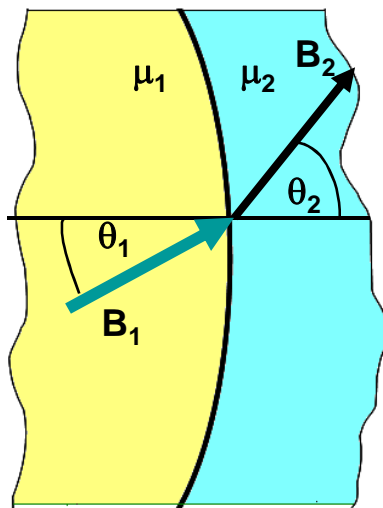
$$\Rightarrow \frac{M_{1t}}{\chi_1} - \frac{M_{2t}}{\chi_2} = \lambda$$

$$\text{Si } \lambda = 0 \Rightarrow H_{1t} = H_{2t}$$

Se conserva la componente normal H

$$\frac{B_{1t}}{\mu_1} = \frac{B_{2t}}{\mu_2}$$

$$\frac{M_{1t}}{\chi_1} = \frac{M_{2t}}{\chi_2}$$



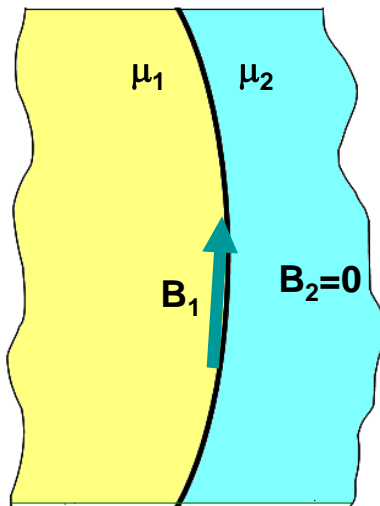
$$\tan \theta_2 = \frac{B_{2t}}{B_{2n}} = \frac{\mu_2 B_{1t}}{\mu_1 B_{1n}} = \frac{\mu_2}{\mu_1} \tan \theta_1$$

$$\tan \theta_2 = \frac{\mu_2}{\mu_1} \tan \theta_1$$

Si $\lambda = 0, B_{1n} \ll B_{1t}, B_{1n} \approx 0$

$$\theta_1 \approx \frac{\pi}{2}$$

$$\longrightarrow \begin{cases} B_{2n} = B_{1n} \approx 0 \\ B_{2t} = \frac{\mu_2}{\mu_1} B_{1t} \end{cases} \quad \begin{array}{l} \text{Si } \mu_1 \gg \mu_2, \quad B_{2n} \approx 0 \quad \text{y} \quad B_{2t} \approx 0 \\ B_2 = 0 \quad \text{NO Existe Campo Disperso} \end{array}$$



B queda encerrado en el medio 1

Ecuaciones Campo Electrostático

$$\oint \vec{D} \cdot d\vec{A} = q_L$$

$$\vec{\nabla} \cdot \vec{D} = -\rho_{\text{Libre}}$$

$$\oint \vec{E} \cdot d\vec{L} = \mathbf{0}$$

$$\vec{\nabla} \times \vec{E} = \mathbf{0}$$

$$\oint \vec{E} \cdot d\vec{A} = \frac{q_T}{\epsilon_0}$$

$$\vec{\nabla} \cdot \vec{E} = \frac{\rho_{\text{total}}}{\epsilon_0}$$

$$\oint \vec{P} \cdot d\vec{A} = -q_{\text{pol}}$$

$$\vec{\nabla} \cdot \vec{P} = -\rho_{\text{Pol}}$$

$$\vec{D} = \epsilon_0 \vec{E} + \vec{P}$$

$$\vec{D} = \epsilon_r \epsilon_0 \vec{E}$$

$$\vec{P} = \chi \epsilon_0 \vec{E}$$

Ecuaciones Campo Magetostático

$$\oint \vec{H} \cdot d\vec{l} = \sum I \quad \vec{\nabla} \times \vec{H} = \vec{J}$$

$$\oint \vec{B} \cdot d\vec{l} = \mu_0 \sum I_{\text{totales}} \quad \vec{\nabla} \times \vec{B} = \mu_0 \vec{J}_{\text{total}}$$

$$\oint \vec{M} \cdot d\vec{l} = I_M \quad \vec{\nabla} \times \vec{M} = \vec{J}_{\text{imantación}}$$

$$\oint \vec{B} \bullet d\vec{A} = 0 \quad \vec{\nabla} \cdot \vec{B} = 0$$

$$\vec{B} = \mu_0 (\vec{H} + \vec{M})$$

$$\vec{B} = \mu \vec{H}$$

$$\vec{M} = \chi_m \vec{H}$$